

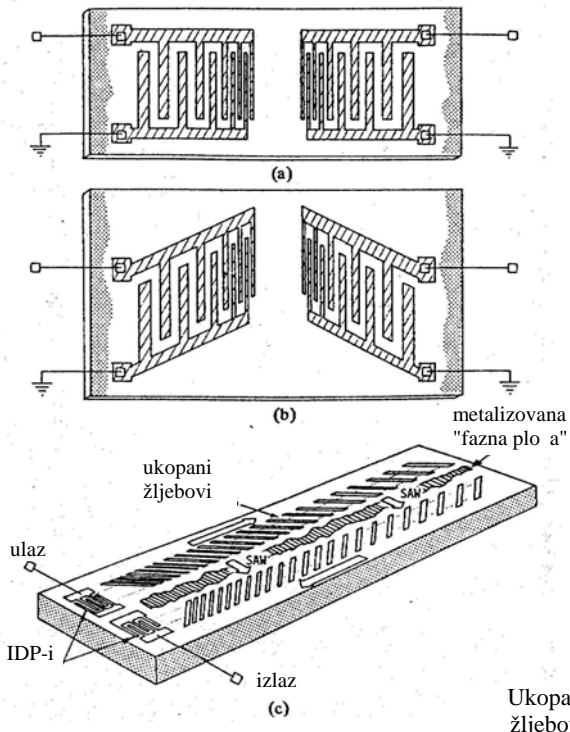
## Analogni procesori sa površinskim akusti kim talasima

Mr Zdravko R. Živkovi , dipl.inž.<sup>1)</sup>

Izloženi su principi razvoja i implementacije procesora sa irp filtrima s površinskim akusti kim talasima (PAT). Analiziran je njihov rad i pokazano da se specifi nim konfiguracijama ovih analognih procesora može vršiti složena obrada signala u širokom frekventnom opsegu (desetine megaherca), što ih ini pogodnim za primenu u radarima, sonarima i telekomunikacijskim ure ajima. Razmotrena je i primena PAT procesora kao spektralnih i mrežnih analizatora. Prezentiran je na in na koji se kombinacijom više procesora mogu realizovati sofisticirane funkcije obrade signala kao što su spektralna analiza i adaptivno filtriranje.

*Ključne reči:* algoritam PAT irp transformacije, linearni FM irp filter, RAC filter, PAT procesor, spektralna analiza, spektralni procesor.

od piezoelektričnog materijala, npr. kvarc. Elektrode su obično raspoređene neuniformno kako bi proizvele disperziju odziva filtra, i u kombinaciji s promenljivim preklapanjem elektroda moguće je ostvariti nezavisno podešavanje amplitudske i frekventne karakteristike filtra. Time se stvara mogunost za realizaciju širokog spektra irp funkcija. Projektovanje filtra se ostvaruje kombinacijom širokopojasnih nedisperzivnih IDP s disperzivnim, ili se pak disperzija deli između njih. Konfiguracija na sl.1a koristi IDP u liniji, dok je aranžman na sl.1b sa interdigitalnim pretvaračima pod nagibom, za redukciju parazitnih interakcija.



Slika 1. Konfiguracija PAT irp filata: a) IDP u liniji, b) IDP pod nagibom, c) RAC struktura

#### Uzak

Drugi tip izvucenog PAT irp filata je takođe RAC filter. On se sastoji od dva interdigitalna pretvarača i dva niza prepreka, reflektora, u obliku ukopanih plitkih žlebova. Pretvarači služe za konverziju električnog signala u akustični i obrnuto. Svaki od reflektora savija akustični talas za 90° formirajući strukturu U oblika. Željeni oblik amplitudske i fazne karakteristike se ostvaruje promenom geometrije i IDP-ih reflektora. RAC filtri imaju pogodnost da se tazna greška može kompenzovati primenom metalizovane fazne ploče, sl.1c. Uporedni pregled performansi PAT irp filata je dat u tabeli 1.

Tabela 1

	10 – 1500	60 – 2000
Centralna frekvencija (MHz)	10 – 1500	60 – 2000
Propusni opseg (MHz)	1 – 750	1 – 1000
Disperzija ( $\mu$ s)	0.1 – 80	0.5 – 150
TB proizvod	4 – 2000	10 – 50 k
Varijacija amplitude (dB p-p)	0.1	0.5
Fazna greška (°)	0.2	0.5
Potiskivanje bočnih snopova (dB)	- 50	- 45

Prezentirani podaci pokazuju da se RAC elementima

ostvaruju znatno veće vrednosti TB proizvoda nego sa IDP i irp filtrima, ali im je manja točka da nisu stabilni kao IDP filtri, sa starenjem i promenama temperature, te ne mogu da ostvarite dovoljno nizak nivo bočnih snopova.

### Algoritam irp transformacije i njegova implementacija PAT elementima

Kod linearnih irp filtera, funkcija trenutne frekvencije ulaznog signala, impulsni odziv ima oblik [3]:

$$h(t) = e^{j2\pi f_0 t} \cdot e^{j\mu t^2}, |t| \leq \frac{T}{2} \quad (1)$$

gde su  $\mu = \pi B/T$ , a  $B/T$ -strmina promene trenutne frekvencije, ( $B$ -propusni opseg,  $T$ -disperzija).

U vremenskom domenu izlazni signal filtra je konvolucija ulaznog signala i impulsnog odziva, što u našem slučaju, pošto se lanac  $\exp(j2\pi f_0 t)$  može zanemariti, daje izraz sledećeg oblika:

$$S(\tau) = \int_{-\infty}^{+\infty} s(t) e^{j\mu(t-\tau)^2} dt \quad (2)$$

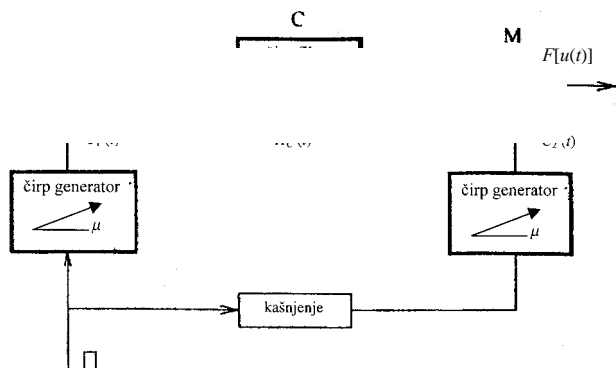
Konvolucija (2) predstavlja Frenelovu transformaciju ulaznog signala  $u(t)$  pomnoženog sa signalom irpa  $s(t) = u(t) \cdot \exp(j\mu t^2)$ , a filter koji obavlja ovu operaciju zove se konvolver. Zbog efekta koji dovodi do kompresije ulaznog signala u uski izlazni impuls, esto se koristi i izraz kompresionog filtra. Množenje izlaza filtra još jednom sa signalom irpa,  $S(\tau) \cdot \exp(j\mu t^2)$ , dobija se Furijeova transformacija ulaznog signala

$$F[u(t)] = \int_{-\infty}^{+\infty} u(t) e^{-j(2\mu\tau)t} dt \quad (3)$$

gde je transformaciona promenljiva  $\omega \equiv 2\mu\tau$ .

Prema tome, postupak obrade signala koji bi se sastojao u prethodnom množenju ulaznog signala sa signalom kompleksnog irpa, zatim kompleksne konvolucije s irpom (Frenelova transformacija) i još jednog množenja s irpom koji rezultuje Furijeovom transformacijom, predstavlja algoritam irp transformacije signala.

Implementacija irp transformacije PAT elementima ostvaruje se strukturalno prikazanom na sl.2, uz upotrebu konvencionalnih mešačkih kola, gde nagibne linije označavaju znak i veličinu nagiba irpa. Shodno redosledu i strukturi operacija prezentirani sklop PAT-irp procesora može se označiti kao M-C-M (Multiply-Convolve- ) konfiguracija.



Slika 2. PAT procesor signala

Zamenom operacija konvolucije i množenja moguće je dobiti alternativni aranžman procesora tipa C-M-C konfiguracije (Convolve-Multiply-Convolve). Za ovaj aranžman se mogu izvesti slične relacije kao i za gore prikazani, ali njihova analiza [1], pokazuje da je ovaj sklop manje pogodan za projektovanje Furijeovog procesora, te se kao osnovna struktura za razvoj PAT procesora može usvojiti M-C-M konfiguracija.

Za PAT implementaciju M-C-M konfiguracije procesora pogodno je upotrebiti komplementarne strukture PAT linearnih irlp filtera, kompresore i ekspandore. Tako, u kolu procesora na sl.2, PAT ekspandor se koristi za generisanje preciznog linearног irlp signala koji se koristi kao svipujući i lokalni oscilator dok se konvolucija izvršava pomoću PAT kompresora.

### Analiza rada PAT procesora

U odnosu na relativno trajanje signala irlpa  $T_M$  na prvom množaju i impulsnog odziva kompresionog filtra  $T_C$ , postoje dva tipa M-C-M konfiguracije procesora [1,2]:

1. M(s)-C(l)-M gde je  $T_M < T_C$  i
2. M(l)-C(s)-M gde je  $T_M > T_C$

Upotrebljena notacija (l) označava dugo trajanje irlpa a (s) označava kratko trajanje irlpa. U najvećem broju slučajeva PAT procesori se koriste u M(s)-C(l)-M konfiguraciji filtera u kojoj je signal irlpa na prvom množaju u krak u poređenju sa impulsnim odzivom kompresionog filtra. Drugo množenje, koje je važno da bi se zadržala informacija o trenutnoj fazi signala, može se izostaviti u primenama gde ova informacija nije važna.

Prema [1] impulsni odziv PAT irlp filtera primenjenih u M-C-M PAT procesoru na sl.2, može se pogodno predstaviti u obliku:

$$C_1(t) = \prod \left\{ \frac{t-t_1}{T_1} \right\} \cdot W_1(t) \cdot \cos \left\{ \omega_1 t - \frac{1}{2} \mu t^2 + \phi_1 \right\} \quad (4)$$

gde su:  $\prod \{(t-t_1)/T_1\}$  pravougaona prozorska funkcija trajanja  $T_1$  centrirana na  $t=t_1$ ;  $W_1(t)$  proizvoljna težinska funkcija;  $\phi_1$  fazni lan koji uzima vrednosti 0 ili  $\pi/2$ , a  $\mu$  parametar koji odgovara disperzivnom nagibu irlp filtra (strmina promene trenutne frekvencije).

Ciklus rada procesora se inicira dovođenjem kratkotrajnog impulsa na ekspandor. Ulagani signal  $u(t)$ , doveden na ulaz PAT procesora, posle predmnoženja sa  $C_1(t)$  prolaska kroz kompresor  $H_C(t)$ , sl.2, proizvodi odziv dat konvolucionim integralom. Za slučaj M(s)-C(l)-M konfiguracije procesora i koristeći (4), dobija se sledeći izraz:

$$S(t) = \int_{-\infty}^{+\infty} d\tau \cdot u(\tau) \cdot \prod \left\{ \frac{\tau - \frac{1}{2} T_M}{T_M} \right\} \cdot C_1(\tau) \cdot \prod \left\{ \frac{t - \tau - \frac{1}{2} T_C}{T_C} \right\} \cdot H_C(t - \tau) \quad (5)$$

Ako se analizira uticaj prozorskih funkcija na ovaj izraz, videće se da njihov proizvod raste linearno sa vremenom za  $t > 0$  dosegajući maksimalnu vrednost za  $t = T_M$  koju potom zadržava u intervalu  $T_M \leq t \leq T_C$ . Maksimalna vrednost proizvoda u tom intervalu, koji odgovara konvoluciji  $s(t)$  u

$H_C(t)$ , formira je deo izlaza bitan za određivanje Furijeovog spektra. U tom slučaju, uzimajući i za  $W_n(t)$  vrednost jedan, izlaz iz filtra će biti:

$$S(t) = \prod \left\{ \frac{t-t'}{T'} \right\} \int_{-\infty}^{+\infty} d\tau \cdot \hat{u}(\tau) \cdot \cos \theta_1(\tau) \cdot \cos \theta_C(t-\tau) \quad (6)$$

gde je:

$$\theta_1(t) = \omega_1 t - \frac{1}{2} \mu t^2 + \phi_1 \quad (7)$$

$$\hat{u}(t) = u(t) \prod \left\{ \frac{t - \frac{1}{2} T_M}{T_M} \right\} \quad (8)$$

$$t' = \frac{1}{2} (T_M + T_C) \quad T' = T_C - T_M \quad (9)$$

Množenje kosinusnih lanova proizvodi lanove sa  $(\omega_M + \omega_C)$  i  $(\omega_M - \omega_C)$  pa se razvijanjem izraza pod integralom u (6) i potrebnim izračunavanjima, uz  $u(t)$  realno, za odziv kompresionog filtra dobija:

$$S(t) = \prod \left\{ \frac{t-t'}{T'} \right\} \hat{U}(\Omega) \left| \cos \left\{ \omega_C t + \frac{1}{2} \mu t^2 + \phi_C + \phi_M + \Phi(\Omega) \right\} \right| \quad (10)$$

gde su:  $\hat{U}(\Omega) = \hat{U}(\omega_C - \omega_M + \mu t)$  – Furijeova transformacija signala  $\hat{u}(t)$ , a  $\Phi(\Omega)$  argument od  $\hat{U}(\Omega)$ .

Analiza izvedene relacije (10) pokazuje da realna ovojnica signala na izlazu kompresionog filtra  $S(t)$ , daje amplitudski spektar ulaznog signala u frekventnom opsegu:

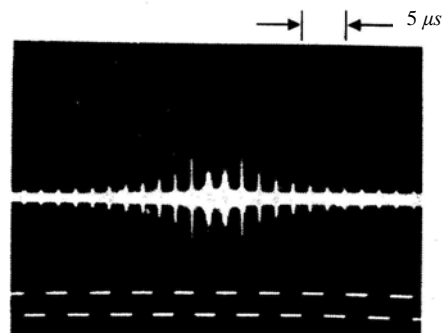
$$\omega_C - \omega_M + \mu T_M \leq \Omega \leq \omega_C - \omega_M + \mu T_C \quad (11)$$

a spektar snage u propusnom opsegu:

$$B = \mu(T_C - T_M)/2\pi \quad (12)$$

Izvedena relacija za odziv kompresionog filtra (10) takođe ukazuje na postojanje fazne informacije  $\Phi(\Omega)$  o transformaciji koja se može dobiti množenjem sa  $C_2(t)$  u vremenskom intervalu definisanom sa (9).

Primer koji ilustruje operacije PAT irlp procesora u obradi signala dat je na sl.3. Prikazani izlazni spektar je dobićen primenom kvadratnog talasnog oblika signala na ulazu procesora sa TB=400 [2]. Najneposrednija primena PAT procesora je upravo spektralna analiza signala u realnom vremenu.



Slika 3. Operacije PAT procesora sa ulaznim signalom kvadratnog talasnog oblika

Međutim, za realizaciju traženih performansi procesora upotrebljeni kompresioni filteri mora da budu sposobni da opsluži kompletno područje frekvencija stvoreno

množenjem signala širine frekventnog opsega  $B_S$  sa irpom frekventnog opsega  $\alpha T_M$  gde je  $T_M$  dužina irpa. Ukoliko je raspoloživi propusni opseg filtra  $B_f = \alpha T_f$ , gde je  $T_f$  totalno kašnjenje filtra, tada je maksimalno mogu a širina frekventnog opsega signala:

$$B_S = \alpha(T_f - T_M) \quad (13)$$

Stoga je potrebno dužinu irpa u initi znatno manjom od vremena kašnjenja filtra. Kako je dužina uzorka signala koji se može obra ivati,  $T_S$  jednaka vremenu trajanja irpa  $T_M$ , to je raspoloživi TB proizvod signala:

$$T_S B_S = \alpha(T_f - T_M) T_M \quad (14)$$

Njegova maksimalna vrednost se postiže za:

$$T_M = T_f / 2 \quad (15)$$

tako da je:

$$(B_S T_S)_{\max} = \frac{1}{4} (B_f T_f) \quad (16)$$

S obzirom da je  $T_M = T_S$ , neposredno sledi da je korisna širina opsega signala:

$$B_S = B_f / 2 \quad (17)$$

Važan parametar svakog procesora signala je i ostvarljiva frekventna rezolucija  $\Delta f_r$ . Koriste i (16) za ovaj parametar se dobija slede i izraz:

$$\Delta f_r = \frac{B_S}{(B_S T_S)_{\max}} = \frac{2}{T_f} \quad (18)$$

sto je znatno manje nego kod obi nog disperzivnog filtra za faktor  $(T_f B_f)^{1/2}$ . Zna i, upotreba predmnoža kog irpa omogu uje znatno efikasnije frekventno razdvajanje nego direktna upotreba filtra kao jednostavnog diskriminatora.

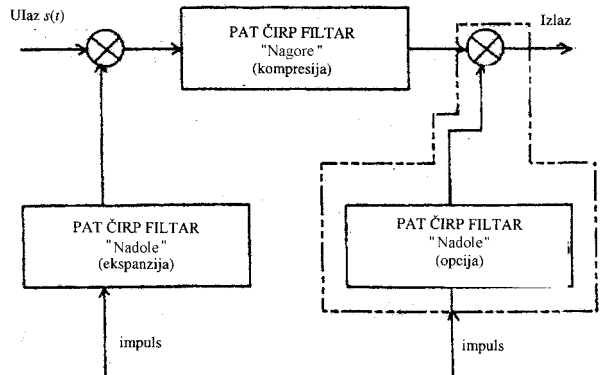
Ovaj relativno jednostavan rezultat ukazuje da analogni Furijeovi procesori mogu imati impresivne performanse. Me utim, pojava bo nih snopova u transformisanom izlazu može zna ajno umanjiti njihov efekat. Iz tog razloga primenjuju se postupci za potiskivanje bo nih snopova [5], kao što je upotreba prozorskih funkcija (Hemingova, Heningova itd.), ali po cenu slabije rezolucije procesora. Jedan primer implementacije PAT procesora je dat u [2]: centralna frekvencija irp filtra je 70 MHz, propusni opseg 17.6 MHz i kašnjenje 88 μs. Upotreba Hemingovog prozora za poboljšanje odnosa glavnog snopa/bo nih snopova rezultuje u TB proizvodu signala 260 tako da je frekventna rezolucija 37 kHz. Performanse su ostvarene upotrebom odbiraka signala od 44 μs i rezultati su raspoloživi u realnom vremenu. Upotrebljena savremenih PAT filtera, s velikim vrednostima TB proizvoda, npr. RAC filtera (TB > 10 000) [4], mogu da se realizuju Furijeovi procesori visokih performansi sa više od 1024 transformacionih ta aka.

### Primena PAT procesora

Analogni procesori signala sa PAT komponentama nalaze zna ajnu primenu u razli itim oblastima telekomunikacija. Pre svega, primenjuju se u radarima i sonarima, potom za spektralnu i mrežnu analizu a primenom inverzne irp transformacije mogu a je i sinteza

signala razli itih talasnih oblika. Sinteza signala otvara mogu nost primene u sistemima širokopojasne komunikacije s proširenim spektrom.

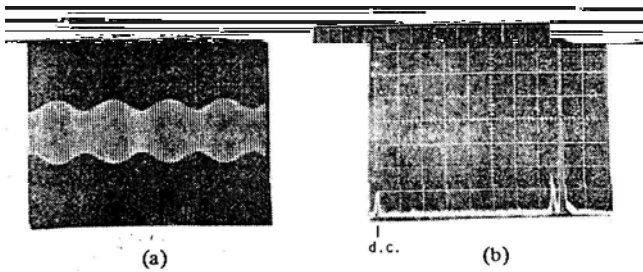
Shodno ve provedenoj analizi, individualni procesor se formira s irp filtrima s disperzijom "nagore" (ekspandor) i disperzijom "nadole" (kompresor), kao što je prikazano na sl.4.



Slika 4. Jednostepeni procesor M-C-M strukture

Jednostepeni procesor omogu uje realizaciju operacije Furijeove transformacije  $S(2\pi f t)$  u realnom vremenu za spektralnu analizu (zahteva odre ivanje spektralne gustine snage signala) i mrežnu analizu (zahteva spektar snage i fazni spektar), gde je  $\mu = B/T$  veli ina nagiba linearog FM irpa. Pored ove primene za izra unavanje tzv. "vremenske" Furijeove transformacije, PAT procesori se mogu upo-trebiti i za "prostornu" Furijeovu transformaciju kao kod sonara, npr. za uobli avanje snopa i kompresiju impulsa u pasivnim prislušnim sistemima, kao i za dobijanje slike morskog dna. Hibridni PAT / digitalni procesori omogu uju obradu signala frekventnog opsega do 100 MHz i trajanja 100-200 μs [7]. U takvim hibridnim sistemima do 100 snopova može biti upotrebljeno u slušnom opsegu od 10 Hz do 2 kHz. Upotrebom PAT irp filtera s propusnim opsegom  $B=40$  MHz i  $T=100$  μs može se ostvariti rezolucija od 2 Hz nad 1000 ta aka.

Za brzu širokopojasnu spektralnu analizu signala kratkog trajanja (< 50 μs) pogodno je za konfiguraciju spektralnog analizatora izabrati M(s)-C(l)-[M] sklop, koji daje veran spektar signala koji se dešava unutar predmnoža kog intervala. S druge pak strane, kod spektralne analize signala dugog trajanja, zbog pojave visokih bo nih snopova vrši se njihovo potiskivanje primenom prozorskih funkcija,ime se oblikuje izlazni spektar iz procesora. Prakti ne teško e u izvo enju ovog postupka ine upotrebu M(l)-C(s) konfiguracije pogodnjom za navedene namene. Operacije PAT spektralnog analizatora u M(l)-C(s) modu, za slu aj CW signala prikazane su na sl.5. Uzlazni signal, sl.5a, sastoji se od dve sinusoide nivoa snage -20 dBm na 4.0 MHz i -33 dBm na 3.77 MHz. Izlazni spektar dat na sl.5b, ponderisan je da ostvari nivo bo nih snopova od -35 dB. Propusni opseg procesora je 25 MHz sa 500 transformacionih ta aka.



Slika 5. Operacije PAT spektralnog analizatora (M(l)-C(s)): a) ulazni signal, b) izlazni spektar

Razvoj širokopojasnih PAT Furijeovih procesora je omoguio njihovu upotrebu u sistemima mrežne analize u obliku mrežnih analizatora različite PAT konfiguracije. U suštini, M(s)-C(l)-M procesor uspešno zamenjuje digitalno implementirane FFT procesore u mrežnim analizatorima omogućujući operacije u realnom vremenu. Mogući PAT mrežni analizatori projektovani na osnovu M(s)-C(l)-M aranžmana procesora prikazane su na sl.6, u slučaju da se testira širokopojasnji filter ( $\pm 5$  MHz, 3 dB propusnog opsega) na 145 MHz centralne frekvencije. Amplitudni i fazni odziv dobijen ovim PAT analizatorom, sl.6a, poređe se sa onim dobijenim konvencionalnim analizatorom sa svipovanjem frekvencije, sl.6b.

PAT procesorska tehnika može korisno da se upotrebni za dvodimenzionalno snimanje terena radarem. Primena radara uključuje elektronski podržano merenje za brzu spektralnu analizu dolaznih signala. Tako je u [7] opisana aplikacija PAT transformatora sa 512x512 digitalnih ulazno / izlaznih takaka, za analizu signala u realnom vremenu, opseg modulacionih frekvencija od 4 MHz. Digitalni ulaz je kodiran u osam kompleksnih bita i konvertovan u signal realnog vremena sa 8 MHz frekventnog opsega i 64  $\mu$ s linijskog vremena. Potom se vrši procesiranje s dva PAT procesora implementirana s čirp filtrima koji su TB proizvodi  $T_1B_1=64 \mu$ s x 8 MHz i  $T_2B_2=128 \mu$ s x 16 MHz, sa 27 dB procesnog pojedinačnosti.

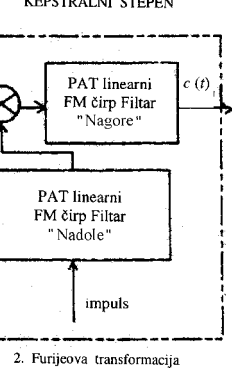
### Sofisticirani PAT procesori

Upotreboom kombinacije više PAT Furijeovih procesora s drugim elementima kola moguće je realizovati sofisticirane funkcije u obradi signala kao što su npr. kepstralna analiza, programabilna korelacija ili filtriranje propusnikom opsega s promenljivim opsegom. Princip se sastoji u tome da se izvrši modifikacija (editovanje) izlaza prethodnog procesorskog stepena, nekom spolja programiranom funkcijom, pre transformacije signala u sledećem procesorskom stepenu.

### Dvostepeni procesor za kepstralnu analizu

Kepstralna analiza signala omogućava ispitivanje periodičnih efekata u frekventnom domenu vezano za eho talasne oblike. U principu, obrada signala kepstralnom tehnikom se zasniva na upotrebi digitalnih sistema koji nisu procesori realnog vremena. Ovi softverski sistemi se koriste recimo u procesiranju slika.

Međutim, kepstralna analiza signala u realnom vremenu može se takođe implementirati pomoću PAT čirp procesora. Tako, PAT kepstralni procesor može da se realizuje s dva Furijeova procesora razdvojena logaritamskim pojamima, kao što je dato u sl.7.



Slika 7. PAT kepstralni procesor u realnom vremenu

Kepstralna snaga  $C(\tau)$  vremenski zavisnog signala  $s(t)$  sa spektrom  $S(\omega)$  je [6]:

$$C(\tau) = \left| FT \left\{ \log |FT \{s(t)\}|^2 \right\} \right|^2 \quad (19)$$

gde FT označava Furijeovu transformaciju.

Za slučaj da je signal  $s(t)$  deformisan malim periodima odjekom amplitude  $\beta$  i kašnjenja  $\tau$ , mešoviti spektar snage  $|D(\omega)|^2$  se aproksimira izrazom [7]:

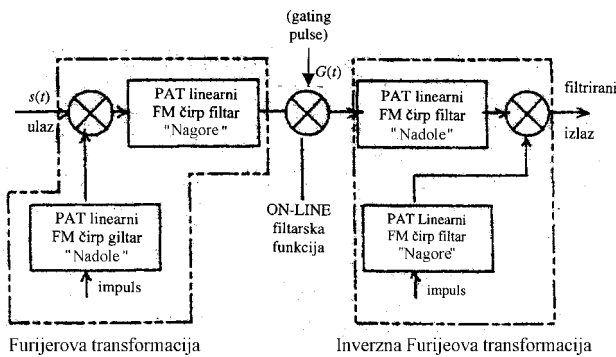
$$|D(\omega)|^2 = |S(\omega)|^2 \cdot (1 + 2\beta \cdot \cos(\omega\tau) + \beta^2) \quad (20)$$

Upotreba logaritamskog pojačanja omogućuje razdvajanje proizvoda signala i odjeka koji se kao komponenta pojavljuje u odzivu prvog procesora (npr.,  $\log(AB) = \log A + \log B$ ). Izlaz iz drugog stepena je u pseudovremenskom (frekventnom) domenu, sa dimenzijom sekundi. Ova tehnika se može korisno upotrebiti u sonarima za razdvajanje udvojenih reverberacija, kao i za razdvajanje višestrukih smetnji kod radara (multipath interference). Sa RAC čirp filtrima, vremenskog kašnjenja od 2  $\mu$ s do 50  $\mu$ s i TB proizvoda do TB=10 000, PAT kepstralnim procesorom je moguće meriti vreme trajanja impulsa od 50 ns do 50  $\mu$ s. Takođe, ovakvim procesorima je moguće vršiti određivanje

nepoznatog nagiba disperzije radarskog impulsa signalata.

### Procesor za adaptivno filtriranje u realnom vremenu

Za adaptivno filtriranje signalata pogodno je upotrebiti Furijeove procesore vezane kao na šemici na sl.8. Konfiguracija impulsnog filtra u prvom stepenu implementira Furijeovu transformaciju, a ona u drugom stepenu inverznu Furijeovu transformaciju. Za realizaciju on-line funkcije filtriranja, dovode se odgovarajući impulsni između prvog i drugog procesorskog stepena.



Slika 8. PAT adaptivni filter realnog vremena

Primenjena upravljačka funkcija  $G(t)$  je impulsni odziv željene serije filtra nepropusnika opsega prenosne karakteristike  $G(\omega)$ . Ova tehnika zasnovana na PAT procesorima ima prednost nad CCD tehnologijom za širokopojasnu komunikaciju s propusnim opsegom  $B \geq 100$  MHz.

Sposobnost filtriranja ovakvom strukturu PAT procesora realnog vremena u sistemima komunikacije s proširenim spektrom može da se poredi s onom koja se ostvaruje s prijemnicima direktnog sekvenčnog (DS) bez filtra za prigušenje. Tako, konvencionalni DS prijemnik zahteva pojačanje u opsegu 255-511, za istu verovatno u greške, kao PAT procesor s procesnim pojačanjem 31 [7].

PAT procesori u sistemima zaštite od ometanja mogu zahtevati dinamički opseg od 80 dB za opsluživanje varijacija u nivoju ulazne snage. Ova performansa je demonstrirana u PAT spektralnom analizatoru projektovanom za propusni opseg od 30 MHz i rezoluciju bolju od 100 kHz, za ulazni signal centriran na 204 MHz. Ovo daje preciznost od 0.3 dB, sa odnosom signal / šum

većim od 70 dB i dinamičkim opsegom većim od 80 dB [7].

### Zaključak

Prikazani su procesori za analognu obradu signalata zasnovani na upotrebi elemenata s površinskim akustičkim talasima. Izloženi su principi impulsnog transformacije i pokazano da se njenom implementacijom PAT disperzivnim filtima mogu dobiti visokokvalitetni procesori za obradu signalata u realnom vremenu. Analiziran je rad ovih procesora koji je pokazao da se operacija konvolucije može efikasno izvršavati pomoću PAT linearnih FM impulsnih filtera i izveden je izraz za Furijeovu transformaciju signalata.

Razmotrene su i mogućnosti primene PAT procesora i ustanovljeno je da oni mogu obavljati vrlo raznovrsne i korisne funkcije u telekomunikacijskim uređajima i sistemima i u obradi signalata. Posebno je značajna njihova primena u radarskoj i sonarskoj tehnici kao i u spektralnoj i mrežnoj analizi u realnom vremenu.

Na kraju, objašnjeno je kako se kombinacijom više procesora i primenom dodatnih elektronskih komponenti ili dovođenjem spolja programiranih funkcija mogu realizovati vrlo sofisticirane funkcije obrade signalata, kao što su spektralna analiza i adaptivno filtriranje. Sve ovo ukazuje da bi se sa procesorima s površinskim talasima moglo realizovati i mnoge druge korisne funkcije, što će biti predmet daljih istraživanja.

### Literatura

- [1] JACK,M.A., GRANT,P.M., COLLINS,J.H. The Theory, Design, and Applications of Surface Acoustic Wave Fourier-Transform Processors. *Proc. of the IEEE*, April 1980, vol.68, no.4, pp.450-468.
- [2] OLINER,A.A. *Acoustic Surface Waves*. Springer Verlag, Berlin, 1978.
- [3] MATTHEWS,H. *Surface Wave Filters*. John Wiley, New York, 1977.
- [4] HRIBŠEK,M. *Elementi sa površinskim akustičnim talasom u telekomunikacijama*. Telfor 2000., pp.316-320.
- [5] FELDMANN,M., HENAFF,J. *Surface Acoustic Waves for Signal Processing*. Artech House, London, Boston, 1989.
- [6] TSUI,J.B.Y. *Microwave receivers and related components*. Air Force Wright Aeronautical Laboratories, 1983.
- [7] CAMPBELL,C.K. Applications of SAW and SBAW devices. *Proceedings of the IEEE*, October 1989, vol.77, no.10, pp.1462-1472.

Rad primljen: 29.5.2002.god.

## Analogous processors with surface acoustic waves

The principles of development and implementation of processors with chirp filters with surface acoustic waves (SAW) are presented. The analysis of their working principles has shown that in specific configurations of these analogous processors, a complex signal processing in a wide frequency range (dozens of MHz) can be performed, which makes them suitable for applying in radars, sonars and communication devices. Furthermore, the possibility of applying SAW processors as spectral and network analysers has been taken into consideration. Finally, it is presented how some more sophisticated functions of signal processing such as kestral analysis and adaptive filtering, can be realised through combining a number of processors.

**Key words:** algoritam SAW chirp transformacije, linearni FM chirp filter, RAC filter, SAW procesor, spektralna analiza, kestralni procesor.

## Processseurs analogiques aux ondes acoustiques de surface

Les principes du développement et de l'implémentation des processseurs aux chirp filtres et aux ondes acoustiques de surface (OAS) sont présentés. Après l'analyse de leur fonctionnement, on a démontré que le traitement de signal complexe peut être exécuté avec les configurations spécifiques de ces processeurs analogiques dans la bande de fréquence large (dizaines de mégahertz), ce qui les rend appropriés pour l'application chez les radars, sonars et dispositifs de télécommunications.

sitifs de communication. L'application des processeurs OAS comme analyseurs de spectre et de réseau est également traitée. Finalement, l'article présente la réalisation d'une fonction complexe du traitement de signal comme l'analyse cepstrée et le filtrage adaptatif à l'aide de la combinaison de plusieurs processus.

*Mots-clés:* algorithme de la chirp transformation OAS, chirp filtre linéaire de modulation en fréquence, filtre RAC, processeur OAS, analyse spectrale, processeur cepstré.

